

جغرافیا و توسعه شماره ۲۹ زمستان ۱۳۹۱

وصول مقاله: ۱۳۹۰/۴/۱۸

تأیید نهایی: ۱۳۹۱/۴/۲۷

صفحات: ۵۵ - ۷۶

## تحلیل همدید امواج سرماهی فراگیر ایران مورد: موج سرمای دی و بهمن ۱۳۸۳ استان چهارمحال و بختیاری

دکتر صادق کریمی<sup>۱</sup>، دکتر حسین نگارش<sup>۲</sup>، دکتر تقی طاووسی<sup>۳</sup>، دکتر بهلول علیجانی<sup>۴</sup>

### چکیده

در اقلیم‌شناسی همدید با تکیه بر اصل پذیرفته شده‌ی تبیین و تحلیل تغییرات شرایط محیطی سطح زمین از روی تغییرات الگوهای فشار (رویکرد محیطی به گردشی)، می‌توان بیشتر پدیده‌های اقلیمی سطح زمین را تبیین، تحلیل و پیش‌بینی نمود. از مهمترین پدیده‌های اقلیمی می‌توان به موج‌های سرمایی شدید اشاره نمود. سرمایی شدید و نادر دی و بهمن سال ۱۳۸۳ شمسی که بخش‌های وسیعی از کشور ایران را فرا گرفت، از آن جمله است. به منظور تبیین و تحلیل همدید این موج فراگیر سرما در ایران، دمای کمینه‌ی ایستگاههای محدوده‌ی استان چهارمحال و بختیاری، انتخاب شد و سپس از داده‌های فشار تراز دریا و ارتفاع ژئوپتانسیل تراز میانی جو جهت تبیین این رویداد استفاده گردید.

نتایج این پژوهش نشان می‌دهد که الگوی حاکم بر این موج سرمایی شدید، الگوی پرفشار سیبری بوده است. در این مدت، پرفشار سیبری با هجوم به طرف عرض‌های پایین، هفت موج سرمایی شدید و نادر را به منطقه‌ی مورد مطالعه تحمیل نموده است. همزمان با نفوذ و گسترش زبانه‌ی پرفشار سیبری به منطقه، در ارتفاع ژئوپتانسیل تراز میانی جو، فرازهایی تا ارتفاع ۵۸۰۰ متر تشکیل شد که ریزش هوای بسیار سرد به منطقه را در امتداد شرقی این فرازها، توجیه می‌کند.

از طرفی مرکز پرفشار سیبری همزمان با گسترش نفوذ خود بر عرض‌های جنوبی، تا حدود ۵۰ درجه طول شرقی (یعنی دقیقاً در امتداد شمال جغرافیایی ایران) جابجایی داشته است. در اوج این وضعیت که مقارن با ۲۵-۲۹ ژانویه ۲۰۰۵ بوده، ششمین ریزدوره موج سرمایی (با متوسط دمایی ۱۶/۷- درجه سانتیگراد) در منطقه‌ی مورد مطالعه شکل گرفته است.

**کلیدواژه‌ها:** پرفشار سیبری، موج سرما، دمای کمینه، ریزدوره، ارتفاع ژئوپتانسیل، فشار تراز دریا.

karimi.s.climatologist@uk.ac.ir

۱- استادیار جغرافیا طبیعی، دانشگاه شهید باهنر کرمان (نویسنده مسؤول)

h\_negaresh@yahoo.com

۲- دانشیار جغرافیا طبیعی، دانشگاه سیستان و بلوچستان

t\_tavousi@yahoo.com

۳- دانشیار جغرافیا طبیعی، دانشگاه سیستان و بلوچستان

alijanii@tmut.ac.ir

۴- استاد جغرافیا طبیعی، دانشگاه خوارزمی (تربیت معلم سابق)

**مقدمه**

زندگی انسان همواره تحت تأثیر شرایط آب و هوایی قرار داشته است. از آنجایی که شرایط آب و هوایی هم می‌تواند مساعد و هم می‌تواند زیان‌آور باشد، انسان همچنان تلاش داشته تا با شناخت ماهیت اقلیم، در برابر شرایط نامساعد اقلیمی از خود دفاع کند. این تلاش خصوصاً پس از وقوع بلایای اقلیمی که بالاترین درصد فراوانی وقوع را در بین بلایای طبیعی دارند (مقیمی و گودرزی نژاد، ۱۳۸۲: ۱۶)، بشر را به سمت شناسایی منشأ و چگونگی به وجود آمدن این گونه بلایا کشانده است؛ شناختی که با گذشت زمان، دقیق‌تر و علمی‌تر می‌شود.

اخیراً با وقوع آشفتگی‌های اقلیمی، یکی از مهمترین بلایای اقلیمی که جوامع بشری و خصوصاً مناطق مختلف کشورمان را تهدید می‌کند، امواج سرما و یخنده‌های شدید است که در برخی سال‌ها مناطق وسیعی از کشور را در بر می‌گیرد. این یخنده‌ها که عموماً با ورود توده‌های هوایی با دمای زیر صفر درجه سانتیگراد به مناطق حادث می‌شود، موج سرمایی نسبتاً پایدار و چند روزه‌ای را با خود به همراه دارند که ممکن است آثار زیان‌باری را به دنبال داشته باشد. از مهمترین نمونه‌های بارز ورود امواج سرمای شدید به ایران، می‌توان به سرمای نادر دی و بهمن سال ۱۳۸۳ که بخش‌های وسیعی از کشور خصوصاً محدوده‌ی استان چهارمحال و بختیاری را فرا گرفته بود، اشاره کرد. با شناخت دقیق‌تر چگونگی شکل‌گیری و در نتیجه پیش‌بینی این رخداد اقلیمی، بشر راهکارهای مناسب‌تری را در زمان و مکان مناسب به منظور کاهش آثار زیانبار اینگونه پدیده‌های مخرب به کار می‌گیرد. اقلیم‌شناسان از دیرباز تلاش‌هایی را در جهت شناخت منشأ و فرآیندهای شکل‌گیری این پدیده اقلیمی شروع کرده‌اند که همچنان ادامه دارد. در این

خصوص آنها روش‌های مختلفی را جهت شناسایی الگوهای حاکم بر ایجاد و توسعه‌ی این پدیده‌ها، کشف و استخراج نموده‌اند. یکی از مهمترین روش‌هایی که امروزه اقلیم‌شناسان، جهت شناسایی پدیده‌های اقلیمی محیطی از آن استفاده می‌کنند، تحلیل این پدیده‌ها در ارتباط با الگوهای فشار است. این روش با عنوان "رویکرد محیطی به گردشی"، در کنار "رویکرد گردشی به شناسایی همدید" (Yarnal, 1993:11) دو محور اصلی اقلیم‌شناسی همدید را تشکیل می‌دهد. با تکیه بر رویکرد اول، دانشمندان معتقد‌ند که بیشتر پدیده‌های اقلیمی محیطی به وسیله‌ی تکرار الگوهای فشار و سیستم‌های همدید، کنترل می‌شود. به عنوان مثال افت و خیزهای کوتاه‌مدت و درازمدت دما را ناشی از تغییرات الگوهای فشار می‌دانند (Miazaki, 1998:165). درنتیجه می‌توان گفت: اقلیم‌شناسی همدید در شناخت، تبیین، پیش‌بینی و حتی تعديل بسیاری از بلایای محیطی پیش‌تاز است؛ بطوری که در اقلیم‌شناسی همدید با تکیه بر اصل پذیرفته شده‌ی "تبیین و تحلیل تغییرات شرایط محیطی سطح زمین از روی تغییرات الگوهای فشار" (یعنی رویکرد محیطی به گردشی)، می‌توان اکثر پدیده‌های اقلیمی سطح زمین را تبیین، تحلیل و پیش‌بینی نمود (علیجانی، ۱۳۸۱: ۱۱ و ۲۰).

به دنبال مقبولیت این رویکرد در تبیین و شناخت منشأ پدیده‌های محیطی اقلیمی، تحقیقات وسیعی در مراکز علمی کشورهای مختلف آغاز شد و منشأ بسیاری از پدیده‌های اقلیمی تحلیل شد. در سال‌های اخیر در ایران نیز تلاش‌هایی در جهت استفاده از این روش برای تحلیل منشأ پدیده‌های اقلیمی محیطی صورت گرفته و تحقیقاتی در موارد مختلف انجام شده است. در ادامه به نتایج برخی از تحقیقات خارجی و داخلی انجام شده در این زمینه، اشاره می‌شود.

یخندان در دوره‌ی زمستانه همراه است. پوشش برف، باعث تشکیل پرفشار حرارتی بر روی منطقه گردیده که عامل بروز یخندان‌های شدید به ویژه در نواحی ساحلی این دریاچه می‌باشد (Kiristi, 2007: 443).

یخندان‌های غرب و جنوب‌غرب ایالات متحده، ناشی از گسترش زبانه‌های پرفشار عرض‌های قطبی به سمت عرض‌های پایین‌تر و در نتیجه انتشار سرماهی فراغیر در این مناطق می‌باشد (Meehl, 2004: 496) مطالعات بعدی با بررسی‌های وسیع‌تر، گردش انتشار موجی یخندان از عرض‌های جغرافیایی بالا به سمت عرض‌های پایین (یعنی مناطق حاره‌ای) را به اثبات رساند (Gabriela & Tercio, 2007: 97).

پرفشار سیبری، پدیده‌ی غالب دوره‌ی سرد سال آسیاست که در اوایل دوره‌ی سرد در اطراف دریاچه‌ی بایکال تشکیل شده و به تدریج همزمان با پیشرفت زمستان، قوی‌تر و گستردگر شده و در اوج فعالیت خود، زبانه‌هایی به خاورمیانه می‌فرستد که در نتیجه اقلیم منطقه و ایران را کنترل می‌کند (علیجانی، ۱۳۶۹: ۴۲). بر همین اساس است که جابجایی سامانه‌های فشار از عرض‌های بالا به سمت ایران، یخندان‌های شدید و فراغیر را به خصوص در فصل بهار به وجود می‌آورد (براتی، ۱۳۷۵: ۳).

سیستم کم ارتفاع شمال دریای خزر در تراز ۵۰۰ هکتوپاسکال، رخداد یخندان‌های نیمه غربی ایران را توجیه می‌کند. این سیستم معمولاً با سیستم کم ارتفاع نسبتاً قوی در غرب خود و بر روی مدیترانه، همراه است و در روزهای یخندان خطوط هم‌دمای ۱۵-۳۰ درجه سانتیگراد در تراز ۵۰۰ هکتوپاسکال از روی ایران عبور می‌کند (عزیزی، ۱۳۸۳: ۹۱).

یخندان‌های شمال‌غرب ایران در دوره‌ی سرد سال بیشتر از نوع یخندان‌های وزشی بوده که از آبان تا فروردین اتفاق می‌افتد. استقرار یک پرفشار در سطح

ویکویچ<sup>۱</sup> عامل اصلی یخندان‌های روسیه، اروپا و قزاقستان را گسترش بادهای سرد شمال‌غربی توسط توده‌های هوا می‌داند (Vithkevich, 1963: 183). در تجزیه و تحلیل الگوهای بزرگ مقیاس، انتقال و گسترش نفوذ زبانه توده‌های سرد به سمت استوا، عامل ایجاد موسمی‌های زمستانه و یورش هوای سرد به سمت چین است (Vithkevich & Krishnamurti, 1987: 3).

محدوده‌ی دریاچه‌ی بایکال در مغولستان نیز به عنوان یکی از مهمترین مکان‌های گسترش شمالی-جنوبی پرفشار سرد و محل یورش سرمای شدیدی است که طی آن، دمای این مناطق به شدت افت کرده و در بخش‌هایی از چین یخندان ایجاد می‌شود (Takahashi, 1990: 64).

با توجه به اینکه الگوهای گردشی، ۳۰ تا ۴۰ درصد تغییرات دمای روزانه را در کشور هلند توجیه می‌کنند. بنابراین پیش‌بینی تغییرات دما و بارش در این کشور با استفاده از طبقه‌بندی الگوهای گردشی امکان‌پذیر است (Buishand & Brandsma, 1997: 876).

ناهنجری‌های دمای زمستانه در جنوب سوئد با الگوهای فشار در ارتباط است و لذا این پدیده با تیپ‌بندی فشار قابل توجیه است؛ به طوری که هر تیپ هوا باعث ایجاد شرایط خاص دمایی در یک منطقه می‌شود (Chen & Hellstrom, 1999: 509-510). الگوی نوسان قطبی، یکی از الگوهای بزرگ چرخشی و تبیین‌کننده تغییرات اقلیمی نیمکره‌ی شمالی است. طی فاز منفی این الگو، دمای هوا در آمریکای شمالی و اروپا، پایین آمده و یخندان‌های شدیدی را ایجاد می‌کند (Smolinski & July, 2004: 9).

همچنین نوسان قطبی با تغییرات دمایی و بارشی موسمی‌های اقیانوس‌هند (IOM, 2004: 13) مرتبه است. تغییرات وسعت حداکثر سالانه پوشش برف بر روی دریای بالتیک، با تغییرات شدید دمای ساحلی و قوع

1-Vithkevich, V.I

2-Indian Ocean Monsoon

هکتوپاسکال با استقرارشرق فراز (فراز غرب ایران یا فراز قوی شرق اروپا) بر روی استان، ریزش هوای بسیار سرد عرض‌های بالا به سمت عرض‌های پایین صورت گرفته و مناطق مختلف استان بیویژه بخش‌های مرکزی، شمال و شمال‌غربی با افت شدید دما مواجه می‌شوند (خوشحال و همکاران، ۱۳۸۱: ۴۴). طی ۲۳ تا ۲۶ فروردین‌ماه ۱۳۸۸ فعالیت یک سامانه‌ی پرشمار در شمال دریای خزر، باعث ریزش هوای سرد عرض‌های بالا به کشور و موقع یخ‌بندان در بیشتر ایستگاه‌های کشور گردید. با توجه به اینکه میدان باد ترازهای پایین، نقش مهمی در تعذیه‌ی رطوبتی سامانه جوی داشت، طی دوره‌ی ریزش برف نیز مشاهده شد. در این دوره، ایستگاه‌ها ریزش برف نیز مشاهده شد. در این دوره، بخش‌های غربی و جنوب‌غربی کشور نسبت به دیگر نواحی، یخ‌بندان‌های شدیدتری را تجربه کردند (عزیزی و همکاران، ۱۳۹۰: ۱). پژوهش حاضر در ادامه‌ی این تلاش‌ها بر آن است تا با "رویکرد محیطی به گردشی"، یک تحلیل همدید از موج سرمای فراگیر دی و بهمن سال ۱۳۸۳ استان چهارمحال و بختیاری ارانه دهد و الگوی مؤثر بر تکوین و تداوم این سرمای نادر را آشکارسازی نماید. شکل (۱) موقعیت ایستگاه‌های مورد مطالعه را نشان می‌دهد.

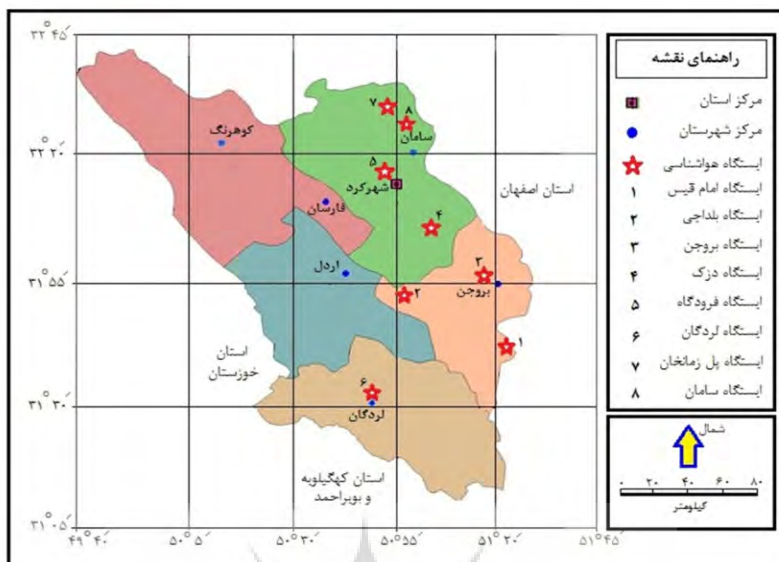
### داده‌ها و روش‌ها

به دنبال تحقق هدف پژوهش یعنی تحلیل همدید موج سرمای فراگیر دی و بهمن ۱۳۸۳ استان چهارمحال و بختیاری (۱۰/۱۱/۱۳۸۳-۱۱/۳۰/۱۳۸۳) مطابق با ۲۱ دسامبر ۲۰۰۴ تا ۱۸ فوریه ۲۰۰۵ (میلادی)، از داده‌های ۸ ایستگاه هواشناسی (سینوپتیک و کلیماتولوژی) این استان استفاده شد (جدول ۱).

دریا و یک ناوه‌ی عمیق در تراز ۵۰۰ هکتوپاسکال، عامل ایجاد این یخ‌بندان‌های شدید و فraigیر است (هزیرپور و علیجانی، ۱۳۸۶: ۱۹).

عامل بروز سرماهای شدید و در نتیجه‌ی سرمازدگی محصولات زراعی بهاره در منطقه‌ی چهارمحال وبختیاری، سیستم‌های پرشماری است که بر منطقه حاکم می‌شود (بهیار، ۱۳۸۲: ۱۰۱).

همانگی و انطباق سامانه‌ها در ترازهای زیرین و میانی جو سبب شده که سرمای فraigیر، بخش اعظم کشور را در سال ۱۳۸۲ فرا بگیرد. عامل اصلی افت شدید دما در این سرمای فraigیر، نفوذ زبانه‌های پرشمار سیبری در امتداد شمالی-جنوبی بر روی ایران و حتی تا عربستان گسترش پیدا کرده است (لشکری، ۱۳۸۷: ۱۶). تیپ‌های هوای پرشمار اروپای شمالی، پرشمار سیبری و پرشمار اروپای شرقی بیشترین تأثیر را در موقع یخ‌بندان‌های ایران دارند. این تیپ‌های هوای جریان‌های سرد قطبی را به سمت عرض‌های پایین هدایت کرده که یخ‌بندان‌های شدیدی را در مناطق مختلف ایران به وجود می‌آورد (فتاحی و صالحی، ۱۳۸۱: ۱۳۵). طبقه‌بندی الگوهای گردشی تراز میانی جو و فشار سطح زمین به کمک تحلیل مؤلفه مبنا و تحلیل خوش‌های، نشان داد که پرشمارهای شمال و شمال‌شرق اروپا و پرشمار سیبری در سطح زمین به همراه تشکیل مراکز پر ارتفاع بر روی سیبری، شمال و شمال‌شرق اروپا و قرارگیری استان فارس در غرب فرود، عامل مهم ایجاد یخ‌بندان‌های این استان می‌باشد. در چنین وضعیتی، تشکیل یک مرکز پرشمار در اتفاقات زاگرس، با تداوم و تشدید یخ‌بندان در استان همراه است. در تراز ۵۰۰



شکل ۱: موقعیت ایستگاههای هواشناسی مورد مطالعه در استان چهارمحال و بختیاری  
مأخذ: نگارندهان

جدول ۱: ایستگاههای مورد مطالعه و موقعیت آنها در استان چهارمحال و بختیاری

ارتفاع	عرض جغرافیایی		طول جغرافیایی		نام ایستگاه	ردیف
	درجه	دقیقه	درجه	دقیقه		
۲۱۵۹	۳۱	۴۴	۵۱	۲۱	امام قیس	۱
۲۲۲۳	۳۱	۵۳	۵۰	۵۶	بلداجی	۲
۲۱۹۷	۳۱	۵۷	۵۱	۱۸	بروجن	۳
۲۲۸۰	۳۲	۰۴	۵۱	۰۳	دزک	۴
۲۰۵۰	۳۲	۱۷	۵۰	۵۱	فرودگاه شهرکرد	۵
۱۵۸۰	۳۱	۳۱	۵۰	۴۹	لردگان	۶
۱۸۱۰	۳۲	۲۹	۵۰	۵۴	پل زمان خان	۷
۲۰۵۷	۳۲	۲۷	۵۰	۵۶	سامان	۸

مأخذ: مرکز آمار سازمان هواشناسی کشور، ۱۳۸۸.

در این رابطه:  $\sum_{i=1}^{i=1} (T_{Daily \ min} Station_i)$  مجموع دماهای کمینه روزانه این دوره دو ماهه برای یک روز خاص در هشت ایستگاه است.  
- میانگین دمای کمینه دوره دوماهه استان گردید (که مقدار آن برابر با  $10/3$  درجه سانتیگراد بوده است).  
رابطه ۲:

$$\mu_{min \ T} forPeriod = \sum_{60}^{i=1} (T_{Daily \ min} Zone) / 60$$

آمار دماهای کمینه روزانه این دوره دو ماهه برای ایستگاه مورد نظر از طریق مرکز آمار سازمان هواشناسی کشور اخذ گردید. سپس ادامه بررسی به صورت مراحل ذیل انجام گردید:

- دماهای کمینه روزانه استان ( $T_{Daily \ min} Zone$ ) برای هر کدام از روزهای دوره دو ماهه مورد مطالعه، از طریق رابطه (۱) استخراج گردید (جدول ۲).

رابطه ۱ :

$$T_{Daily \ min} Zone = \sum_{8}^{i=1} (T_{Daily \ min} Station_i) / 8$$

اثرگذار هر ریزدوره تشخیص داده شد. به دنبال آن، نقشه متوسط فشار تراز دریا برای ریزدوره‌ها تهیه گردید. از این طریق اثر تشدید و تضعیف الگوی غالب فشار بر دمای کمینه هر ریزدوره، بررسی و تحلیل شد.

۶- داده‌های روزانه ارتفاع ژئوپتانسیل تراز ۵۰۰ هکتوپاسکال در هر ریزدوره نیز، معدل گیری و ترکیب شد و نقشه متوسط ارتفاع ژئوپتانسیل آن ریزدوره تهیه گردید. از این طریق، تغییرات دمای کمینه هر ریزدوره با تغییرات ارتفاع ژئوپتانسیل تراز ۵۰۰ هکتوپاسکال نیز بررسی و تحلیل شد.

۷- نقشه‌های تهیه شده فشار تراز دریا و نقشه‌های ارتفاع ژئوپتانسیل تراز ۵۰۰ هکتوپاسکال در ارتباط با هم (یعنی در یک شرایط همدید) به منظور توجیه رفتار دمای کمینه و تشکیل موج‌های سرمایی منطقه، مورد تجزیه و تحلیل قرار گرفت و نتایج نهایی استخراج گردید.

### مباحث و یافته‌ها

جدول (۲)، میانگین دمای کمینه روزانه دوره‌ی دو ماهی استان چهارمحال و بختیاری را نشان می‌دهد. در این جدول، روزهایی که دمای کمینه آنها پایین‌تر از میانگین دمای کمینه دوره‌ی دو ماهه استان (یعنی کمتر از آستانه ۱۰/۳ درجه سانتیگراد) بود، مبنای تشکیل ریزدوره‌ها قرار گرفتند. به این معنا که وجود حداقل دو روز متوالی در کنار هم که دمای کمینه هر کدام از این روزها از ۱۰/۳ درجه سانتیگراد کمتر بوده، تشکیل یک ریزدوره را داده است. بر این اساس، ۷ ریز دوره مشخص گردید. ریزدوره‌های ۱، ۳، ۵ و ۷ هر کدام، دو روز متوالی تداوم داشتند. ریزه دوره‌ی ۲ و ۶ هر کدام پنج روز متوالی و بالآخره ریزه دوره‌ی ۴، شش روز متوالی تداوم داشته است. ریزدوره‌های مشخص شده، شدیدترین موج‌های سرمایی را در دوره‌ی دوماهه مورد مطالعه دارا هستند.

در این رابطه،  $\sum_{60}^{i=1} (T_{Daily \min_i} Zone)$  مجموع دماهای کمینه‌ی روزانه‌ی استان برای دوره‌ی دوماهه است.

۳- در این دوره، روزهایی که دمای کمینه‌ی آنها پایین‌تر از میانگین دمای کمینه دوره‌ی دوماهه‌ی استان (یعنی همان آستانه دمای  $\mu_{\min \text{forPeriod-10/3}}$ ) بود، مبنای تشکیل ریزدوره‌ها قرار گرفتند. به این معنا که وجود حداقل دو روز متوالی در کنار هم که دمای کمینه‌ی هر کدام از این روزها از ۱۰/۳ درجه سانتیگراد کمتر بوده، تشکیل یک ریزدوره را داده است. حد متوسط دمای کمینه‌ی هر ریزدوره از رابطه‌ی (۳) محاسبه گردید تا ریزدوره‌ها از نظر دمای کمینه، بهتر با هم مقایسه شوند:

رابطه ۳ :

$$\mu_{\min \text{ forPeriod-10/3}} = \sum_{n=1}^{i=1} (\min T_i) / n$$

در این رابطه:  $\sum_n (\min T_i)$  مجموع دماهای کمینه روزانه‌ی هر ریزدوره و  $n$  تعداد روزهای ریزدوره است.

نیز معرف یک روز مورد نظر در ریزدوره است.

۴- داده‌های فشار تراز دریا و ارتفاع ژئوپتانسیل تراز ۵۰۰ هکتوپاسکال برای ماههای دی و بهمن ۱۳۸۳/۱۱/۳۰ تا ۱۳۸۳/۱۰/۱ مطابق با ۲۱ دسامبر ۲۰۰۴ تا ۱۸ فوریه ۲۰۰۵ (میلادی) به صورت روزانه در محدوده مورد مطالعه با دقت مکانی ۲/۵ درجه از طریق پایگاه NCEP/NCAR<sup>۱</sup> دریافت گردید. نقشه‌های فشار تراز دریا برای روزهای هر ریزدوره، به کمک نرم‌افزار Grads ترسیم گردید. به عبارتی برای تمامی روزهایی که در زیر مجموعه ریزدوره‌ها قرار دارند، نقشه‌های فشار تهیه گردید تا از این طریق وضعیت فشار و الگوهای اثرگذار بر موج سرمای فراغیر دی و بهمن ۱۳۸۳ اکتشاف گردد.

۵- داده‌های فشار روزانه‌ی تراز دریا در هر ریزدوره، معدل گیری و ترکیب شد و در نتیجه، الگوی غالب و

جدول ۲: مقادیر دمایی کمینه روزانه استان چهارمحال و بختیاری (دی و بهمن ۱۳۸۳ شمسی)

شماره ریز دوره	دما کمینه	تاریخ	شماره ریز دوره	دما کمینه	تاریخ
۵	-۱۲/۵	۲۰۰۵ = ۱ بهمن = ۲۰ زانویه	-	-۳/۶	۲۰۰۴ = ۲۱ دی = ۲۱ دسامبر
	-۱۱/۱	۲۰۰۵ = ۲ بهمن = ۲۱ زانویه	-	-۹/۵	۲۰۰۴ = ۲۲ دی = ۲۲ دسامبر
-	-۴/۳	۲۰۰۵ = ۳ بهمن = ۲۲ زانویه	۱	-۱۰/۵	۲۰۰۴ = ۲۳ دی = ۲۳ دسامبر
	-۱۲/۸	۲۰۰۵ = ۴ بهمن = ۲۳ زانویه		-۱۰/۱	۲۰۰۴ = ۲۴ دی = ۲۴ دسامبر
-	-۶/۳	۲۰۰۵ = ۵ بهمن = ۲۴ زانویه	۲	-۲/۸	۲۰۰۴ = ۲۵ دی = ۲۵ دسامبر
	-۱۷/۱	۲۰۰۵ = ۶ بهمن = ۲۵ زانویه		-۷/۳	۲۰۰۴ = ۲۶ دی = ۲۶ دسامبر
۶	-۱۸/۱	۲۰۰۵ = ۷ بهمن = ۲۶ زانویه	۲	-۸/۳	۲۰۰۴ = ۲۷ دی = ۲۷ دسامبر
	-۱۶/۳	۲۰۰۵ = ۸ بهمن = ۲۷ زانویه		-۱۴/۷	۲۰۰۴ = ۲۸ دی = ۲۸ دسامبر
-	-۱۷	۲۰۰۵ = ۹ بهمن = ۲۸ زانویه	۲	-۲۰/۲	۲۰۰۴ = ۲۹ دی = ۲۹ دسامبر
	-۱۴/۱	۲۰۰۵ = ۱۰ بهمن = ۲۹ زانویه		-۲۱/۶	۲۰۰۴ = ۳۰ دی = ۳۰ دسامبر
-	-۸/۴	۲۰۰۵ = ۱۱ بهمن = ۳۰ زانویه	۳	-۱۴/۳	۲۰۰۴ = ۳۱ دی = ۳۱ دسامبر
	-۰/۴	۲۰۰۵ = ۱۲ بهمن = ۳۱ زانویه		-۱۱/۱	۲۰۰۵ = ۱ زانویه = ۱ دی = ۱ دسامبر
-	-۱/۳	۲۰۰۵ = ۱۳ بهمن = ۱ فوریه	۳	-۹/۵	۲۰۰۵ = ۲ زانویه = ۱۳ دی = ۱۳ دی
	-۱/۲	۲۰۰۵ = ۱۴ بهمن = ۲ فوریه		-۲/۱	۲۰۰۵ = ۳ زانویه = ۱۴ دی = ۱۴ دی
-	-۴/۹	۲۰۰۵ = ۱۵ بهمن = ۳ فوریه	۳	-۴/۱	۲۰۰۵ = ۴ زانویه = ۱۵ دی = ۱۵ دی
	-۳	۲۰۰۵ = ۱۶ بهمن = ۴ فوریه		-۱۱/۲	۲۰۰۵ = ۵ زانویه = ۱۶ دی = ۱۶ دی
-	-۷/۸	۲۰۰۵ = ۱۷ بهمن = ۵ فوریه	۳	-۰/۹	۲۰۰۵ = ۶ زانویه = ۱۷ دی = ۱۷ دی
	-۶/۸	۲۰۰۵ = ۱۸ بهمن = ۶ فوریه		-۹/۱	۲۰۰۵ = ۷ زانویه = ۱۸ دی = ۱۸ دی
-	-۱۰/۳	۲۰۰۵ = ۱۹ بهمن = ۷ فوریه	۴	-۱۵	۲۰۰۵ = ۸ زانویه = ۱۹ دی = ۱۹ دی
	-۷/۳	۲۰۰۵ = ۲۰ بهمن = ۸ فوریه		-۱۶/۱	۲۰۰۵ = ۹ زانویه = ۲۰ دی = ۲۰ دی
-	-۱۰/۱	۲۰۰۵ = ۲۱ بهمن = ۹ فوریه	۴	-۷/۱	۲۰۰۵ = ۱۰ زانویه = ۲۱ دی = ۲۱ دی
	-۱۲/۷	۲۰۰۵ = ۲۲ بهمن = ۱۰ فوریه		-۷/۱	۲۰۰۵ = ۱۱ زانویه = ۲۲ دی = ۲۲ دی
۷	-۱۱/۵	۲۰۰۵ = ۱۱ بهمن = ۱۱ فوریه	۴	-۱۱/۶	۲۰۰۵ = ۱۲ زانویه = ۱۲ دی = ۲۳ دی
	-۹/۹	۲۰۰۵ = ۱۲ بهمن = ۱۲ فوریه		-۲۰/۵	۲۰۰۵ = ۱۳ زانویه = ۱۳ دی = ۲۴ دی
-	-۵/۸	۲۰۰۵ = ۱۳ بهمن = ۱۳ فوریه	۴	-۲۱/۱	۲۰۰۵ = ۱۴ زانویه = ۱۴ دی = ۲۵ دی
	-۱۲/۸	۲۰۰۵ = ۱۴ بهمن = ۱۴ فوریه		-۲۱/۲	۲۰۰۵ = ۱۵ زانویه = ۱۵ دی = ۲۶ دی
-	-۸/۸	۲۰۰۵ = ۱۵ بهمن = ۱۵ فوریه	۴	-۲۰/۳	۲۰۰۵ = ۱۶ زانویه = ۱۶ دی = ۲۷ دی
	-۸/۹	۲۰۰۵ = ۱۶ بهمن = ۱۶ فوریه		-۱۹/۴	۲۰۰۵ = ۱۷ زانویه = ۱۷ دی = ۲۸ دی
-	-۹/۸	۲۰۰۵ = ۱۷ بهمن = ۱۷ فوریه	۴	-۷/۶	۲۰۰۵ = ۱۸ زانویه = ۱۸ دی = ۲۹ دی
	-۱۲/۵	۲۰۰۵ = ۱۸ بهمن = ۱۸ فوریه		-۳/۳	۲۰۰۵ = ۱۹ زانویه = ۱۹ دی = ۳۰ دی

نکته: روزهایی که با خط تیره (-) مشخص شده‌اند به دلیل در محدوده ریزدوروها قرار نگرفته‌اند.

یا دما کمینه آن روز بالاتر از آستانه ۱۰/۳ درجه سانتیگراد بوده و یا توالی حداقل دو روزه نداشته‌اند.

مأخذ: نگارنگان

در ریزدوره‌ی دوم است. این وضعیت نشان‌دهنده‌ی شدت موج سرمای وارد به منطقه و نادر بودن آن در این ریز دوره‌هاست. وضعیت حد متوسط دمای کمینه‌ی ریزدوره‌های مذکور که همگی پایین‌تر از میانگین دمای کمینه دوره‌ی دو ماهه‌ی استان (یعنی کمتر از آستانه  $10^{\circ}\text{C}$  - درجه سانتیگراد) است، مؤید شدت موج‌های سرمایی وارد به منطقه می‌باشد.

جدول (۳)، متوسط دمای کمینه هر ریزدوره و همچنین ایستگاههایی که پایین‌ترین و بالاترین دمای ثبت شده را در هر ریزدوره داشتند، نشان می‌دهد. همانطور که جدول (۳) نشان می‌دهد، در دوره‌ی دوماهه مورد مطالعه، هفت ریزدوره با شدیدترین موج‌های سرمایی بر استان چهارمحال و بختیاری حاکم بوده است. به عنوان مثال پایین‌ترین دمای ثبت شده درجه سانتیگراد (مربوط به ایستگاه شهرکرد

جدول ۳: حد بالا، متوسط و پایین دمای کمینه در هر ریز دوره

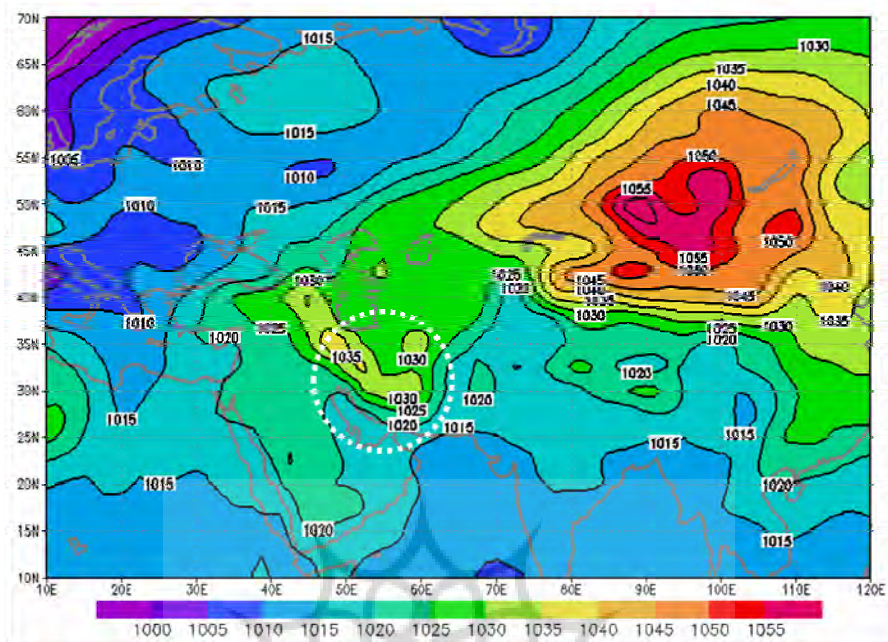
شماره ریزدوره	حدوده زمانی ریزدوره	حد متوسط دمای کمینه ریزدوره	حد پایین دمای کمینه ثبت شده ریزدوره‌ها	حد بالای دمای کمینه ثبت شده ریزدوره‌ها	در ایستگاه دما	در ایستگاه دما	بلداجی	بلداجی	شهرکرد								
اول	۲۰۰۴ دسامبر ۲۳ تا ۲۴	-۱۰,۷	-۳/۶	-۱۶/۶	لردگان	-۳/۶											
دوم	۲۰۰۴ دسامبر ۲۸ تا ۲۹ ژانویه ۲۰۰۵	-۱۶,۴	-۲/۶	-۳۲/۴	لردگان	-۲/۶											
سوم	۲۰۰۵ ژانویه ۲۰۰۵ تا ۹	-۱۵,۶	-۳/۶	-۲۲/۴	لردگان	-۳/۶											
چهارم	۲۰۰۵ ژانویه ۱۲ تا ۱۷	-۱۹	-۳/۴	-۳۰/۴	لردگان	-۳/۴											
پنجم	۲۰۰۵ ژانویه ۲۰ تا ۲۱	-۱۱,۸	-۲/۴	-۱۸/۴	لردگان	-۲/۴											
ششم	۲۰۰۵ ژانویه ۲۵ تا ۲۹	-۱۶,۷	-۴/۸	-۲۸/۴	لردگان	-۴/۸											
هفتم	۲۰۰۵ فوریه ۱۰ تا ۱۱	-۱۲,۱	-۷/۸	-۱۷	لردگان	-۷/۸											

مأخذ: نگارندگان

۱۰۳۰ هکتوپاسکال و بر اساس جدول (۲)، متوسط دمای کمینه منطقه  $20^{\circ}\text{C}$  - درجه سانتیگراد است. این در حالی است که در روزهای با دمای نسبتاً بالاتر (گرمتر) و خارج از محدوده ریزدوره‌ها، حاکمیت CP بر روی منطقه بسیار کم شده است. شکل (۳) نمونه‌ای از وضعیت توزیع فشار یک روز گرمتر (که خارج از محدوده زمانی ریزدوره‌هاست) را در سطح منطقه نشان می‌دهد. در این روز، فشار بر روی منطقه (استان چهارمحال و بختیاری) بین ۱۰۱۰ تا ۱۰۱۵ هکتوپاسکال و بر اساس جدول (۲)، متوسط دمای کمینه منطقه در این روز  $10^{\circ}\text{C}$  - درجه سانتیگراد است ( مقایسه شکل‌های ۲ و ۳).

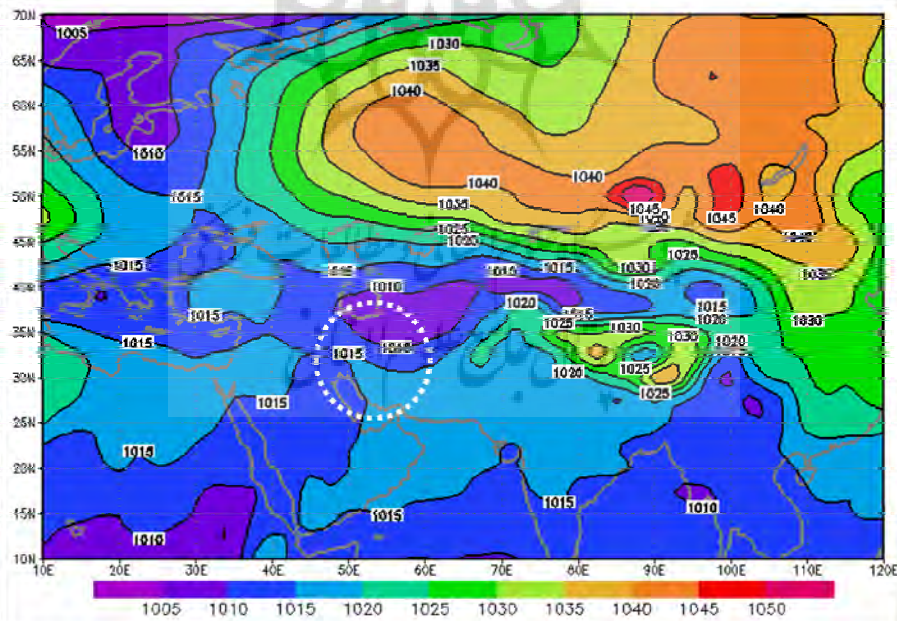
با ترسیم نقشه‌های فشار تراز دریا برای روزهای هر ریزدوره، مشاهده شد که در تمامی این روزها، الگوی CP با فشار مرکزی بسیار بالا که گاهی به ۱۰۵۵ هکتوپاسکال هم مرسید، نفوذش را بر ایران و منطقه‌ی مورد مطالعه از طریق پربندهای خود، توسعه داده است. در برخی از ریزدوره‌ها، گاهی زبانه‌ی این پرفشار به شمال آفریقا و حتی تمام سرزمین عربستان نیز رسیده است (شکل ۲).

شکل (۲)، نفوذ و حاکمیت الگوی CP را بر منطقه مورد مطالعه به خوبی نشان می‌دهد. همانطور که منحنی‌های فشار نشان می‌دهد، مقدار فشار بر روی منطقه (استان چهارمحال و بختیاری) بین ۱۰۲۵ تا



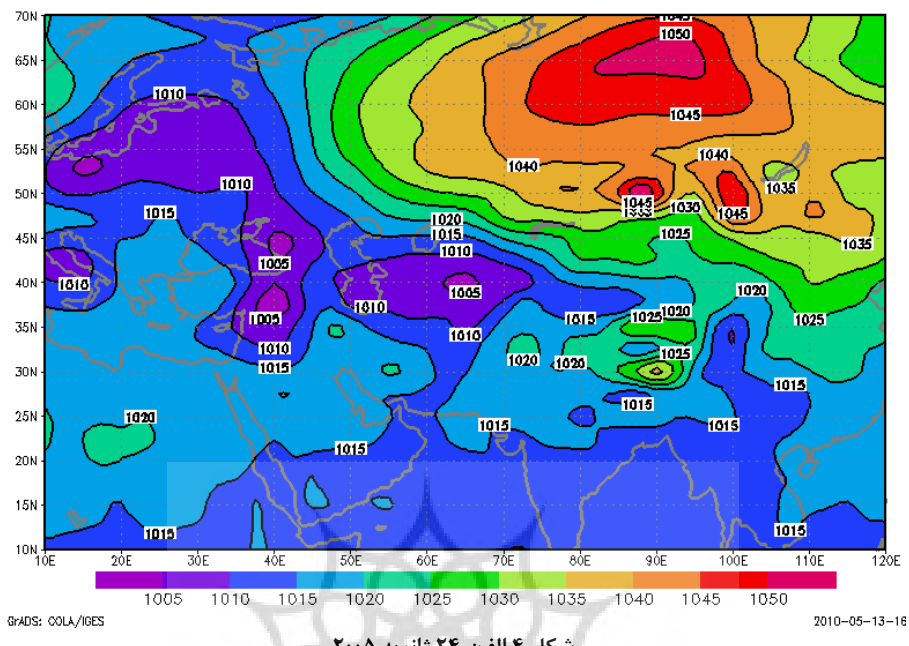
شکل ۲: توزیع فشار تراز دریا در روز دوم ریز دوره‌ی دوم (۲۹ دسامبر ۲۰۰۴)

مأخذ: نگارندهان

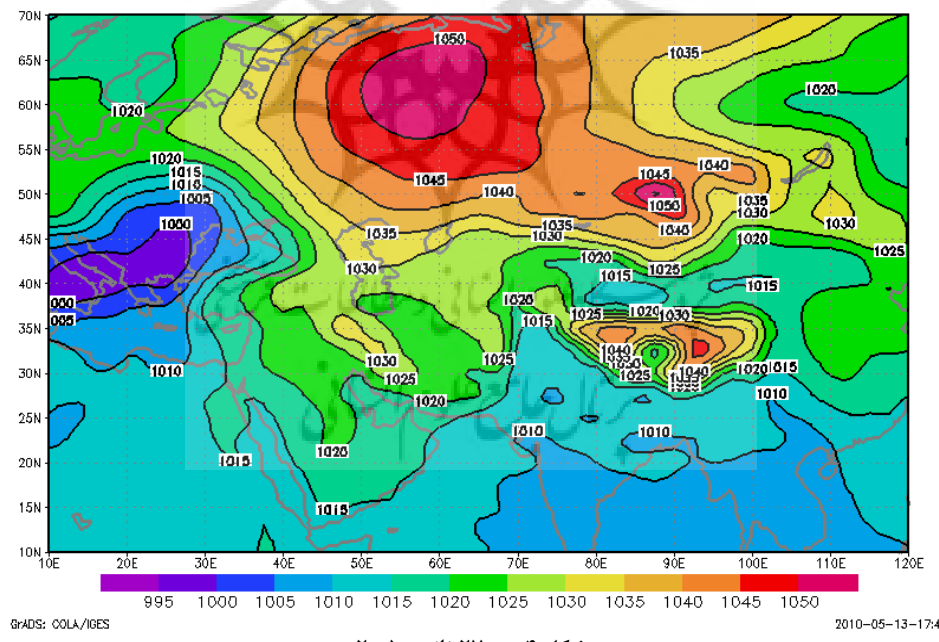


شکل ۳: توزیع فشار تراز دریا در یک روز عادی با دمای نسبتاً بالاتر (۲۰۰۵ فوریه)

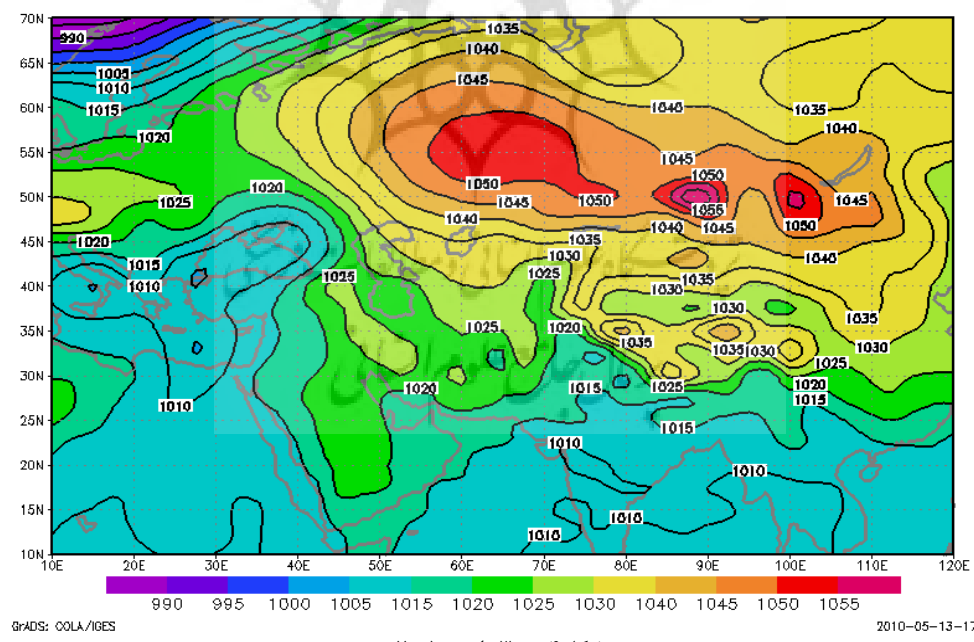
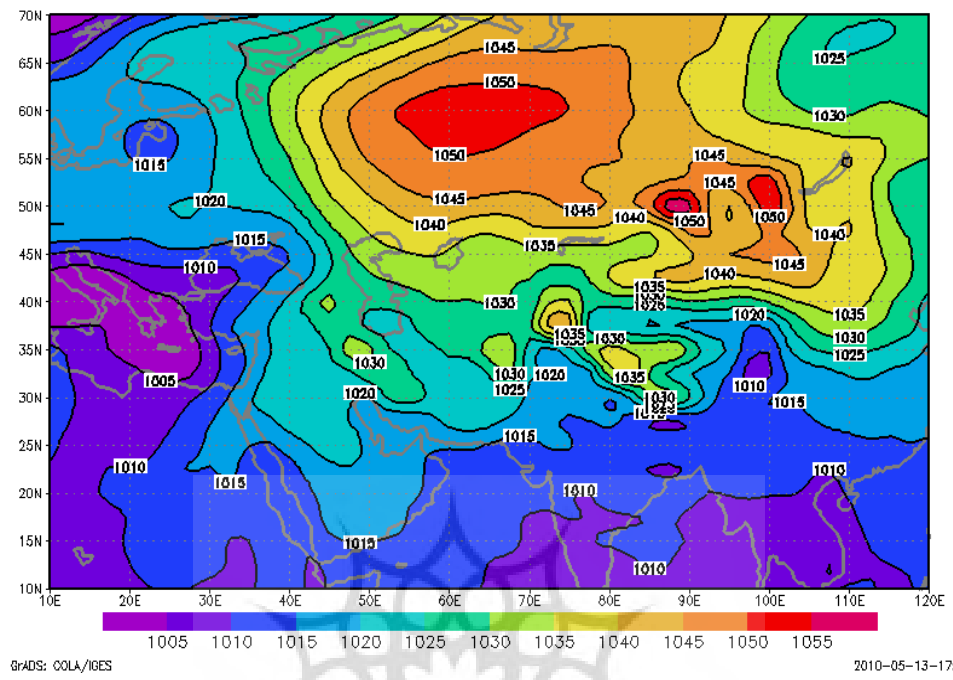
مأخذ : نگارندگان



شکل ۴ الف: ۲۴ ژانویه ۲۰۰۵



#### شکل ۴ ب: ۲۷ ژانویه ۲۰۰۵



مجموعه شکل ۴: مراحل جابجایی شرقی- غربی هسته پرفشار سبیری در طول ریزدوره‌ی ششم

مأخذ: نگارندهان

شمال‌غرب تشدید می‌شود. این ریزدوره، در حقیقت آغاز دوره‌ی سرمای فراگیر مورد مطالعه است. به همین دلیل است که متوسط دمای کمینه این ریزدوره از متوسط دمای کمینه ریزدوره‌های بعدی کمتر است. شکل (۵-ب) نشان می‌دهد در ریز دوره دوم، ایران در زیر یال شرقی یک فراز عمیق قرار گرفته که نتیجه‌ی آن نفوذ سرمای شدید عرض‌های جغرافیایی بالا به سمت ایران بوده است. این ریزدوره یکی از شدیدترین سرماهای دوره‌ی مورد مطالعه می‌باشد که متوسط دمای کمینه‌ی آن  $16^{\circ}\text{C}$  - درجه سانتیگراد بوده است. بنابراین موقعیت محور فراز و تغییرات دامنه‌ی آن می‌تواند به عنوان عامل اصلی تضعیف و تشدید سرما و تشکیل دوره‌هایی با دمای کمینه‌ی متفاوت باشد.

شکل (۵-ج) نشان می‌دهد در زیردوره سوم، جریان باد بر روی ایران، مداری است که حاکی از تفاوت شدید دما در امتداد نصف‌النهارات می‌باشد. بنابراین در این ریزدوره نیز سرمای شدید عرض‌های جغرافیایی بالا از طریق وزش مداری بادهای غربی، به ایران می‌رسد. این ریزدوره نیز با متوسط دمای کمینه  $15^{\circ}\text{C}$  - درجه سانتیگراد نیز، یکی از سردترین ریزدوره‌های مورد مطالعه است. شکل (۵-د) نشان می‌دهد در ریزدوره‌ی چهارم با متوسط دمای کمینه  $19^{\circ}\text{C}$  - درجه سانتیگراد، فراز تقریباً عمیقی بر نواحی غربی ایران حاکم شده است. در این هنگام آرایش پربندهای ارتفاع ژئوپتانسیل تراز میانی جو بر روی مناطق غربی ایران، شمال غربی- جنوب شرقی است. وجود این گونه آرایش‌ها در تراز میانی جو که سبب ریزش هوای سرد از عرض‌های بالاتر می‌گردد، به همراه تغییر مکان هسته پرفشار سیبری به سمت غرب و گسترش آن بر روی غرب ایران (مجموعه شکل ۴)، سبب ایجاد یک ریزدوره بسیار سرد در منطقه‌ی مورد مطالعه گردیده است. شکل (۵-ل) نشان می‌دهد در

نکته‌ی جالب توجه دیگر، جابجایی مرکز پرفشار سیبری از شرق به غرب در طول ریزدوره‌هاست. همانطور که در شکل‌های (۴ الف، ب، ج ، د) دیده می‌شود، مرکز پرفشار سیبری همزمان با گسترش نفوذ خود بر عرض‌های جنوبی، تا حدود  $50^{\circ}$  درجه طول شرقی (یعنی دقیقاً در امتداد شمال جغرافیایی ایران) نیز، جابجایی داشته است. در اوج این وضعیت که مقارن با  $25^{\circ}\text{C}$  ژانویه  $200^{\circ}\text{C}$  است، ششمين ریزدوره موج سرمایی (با متوسط دمای کمینه  $16^{\circ}\text{C}$  - درجه سانتیگراد) در منطقه‌ی مورد مطالعه شکل گرفته است. همانطور که شکل (۴) نشان می‌دهد، هسته‌ی مرکزی پرفشار سیبری با فشار مرکزی  $1050\text{ hPa}$  یک روز قبل از آغاز ریزدوره ششم یعنی  $24^{\circ}\text{C}$  ژانویه  $200^{\circ}\text{C}$  در امتداد طول جغرافیایی  $90^{\circ}$  درجه شرقی مستقر است (شکل ۴ الف). با گذشت دو روز از ریزدوره ششم، هسته‌ی مرکزی پرفشار سیبری با حفظ فشار مرکزی  $1050\text{ hPa}$  هکتوپاسکال در  $27^{\circ}\text{C}$  ژانویه، تا امتداد طول جغرافیایی  $50^{\circ}$  درجه شرقی، جابجا شده است؛ یعنی درست در امتداد شمال جغرافیایی ایران قرار گرفته است (شکل ۴ ب). این وضعیت در روزهای نیمه دوم ریزدوره ششم یعنی  $28^{\circ}\text{C}$  و  $29^{\circ}\text{C}$  و حتی تا یک روز بعد یعنی  $30^{\circ}\text{C}$  ژانویه نیز با کمی عقب‌نشینی همچنان تداوم دارد (شکل ۴ ج و ۴ د). نقشه‌های میانگین فشار تراز دریا و همچنین نقشه‌های ارتفاع ژئوپتانسیل تراز میانی جو برای هر ریزدوره نیز به منظور تحلیل همدید موج‌های سرمایی منطقه، ترسیم گردید (شکل ۵).

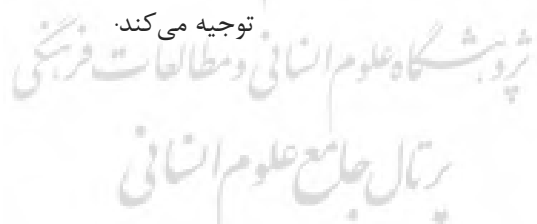
شکل (۵-الف) نشان می‌دهد در ریزدوره اول، محدوده‌ی ایران و بخصوص غرب آن در زیر محور فراز قرار داشته و به تناسب همین شرایط در سطح زمین نیز الگوی فشار زیاد سیبری حاکم بوده که مناطق غرب و شمال‌غرب ایران را در بر گرفته است. نفوذ زبانه‌ی پرفشار سیبری در این ریزدوره از شمال‌غرب ایران به وسیله‌ی تأثیر ناهمواری‌ها در غرب و

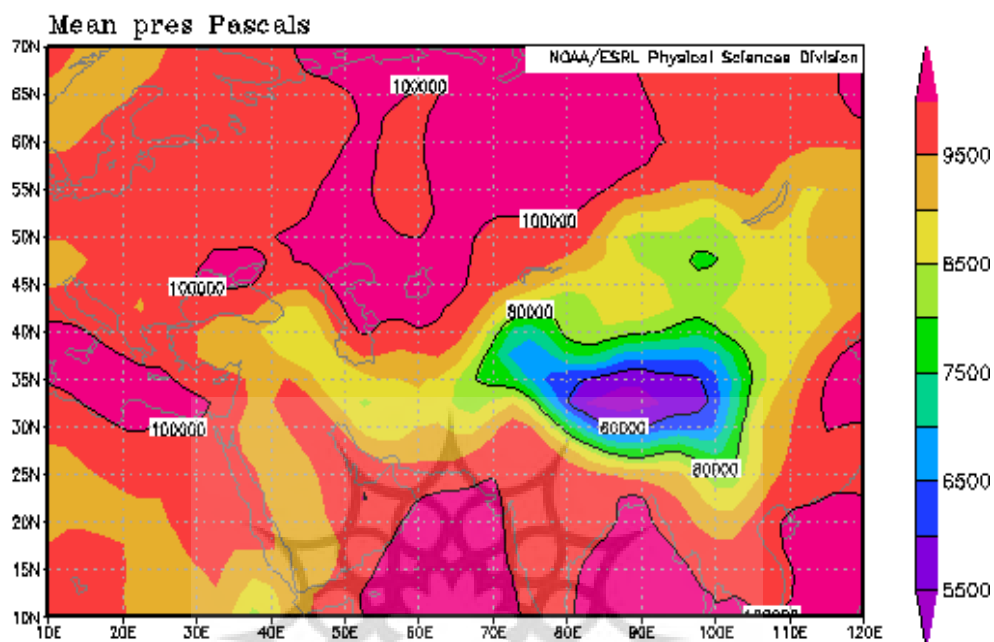
شکل (۵-ن) نشان می‌دهد در طول ریزدوره‌ی هفتم با متوسط دمای کمینه ۱۲/۱ - سانتیگراد به عنوان دوره‌ای نسبتاً سرد، بر روی مناطق شمال‌غرب ایران یک فراز مانع در تراز میانی جو شکل گرفته و سبب گردیده که در این تراز، بادهای غربی دو شاخه شوند. جریان شمالی بادهای غربی، از مناطق بالای دریاچه مازندران عبور می‌نماید و تأثیری در ایران نمی‌گذارد. اما شاخه‌ی جنوبی آن از روی ایران عبور نموده و سبب گرمتر شدن دمای مناطق تحت تسلط خود می‌گردد. جریان باهای غربی نیز در این روز بر روی مناطق مورد مطالعه بیشتر آرایش مداری دارد و از آنجا که این جریان‌ها از مناطق جنوبی‌تر عبور نموده و پس از فراز مانع بر روی ایران رسیده‌اند، دمای آنها تعدیل یافته است.

در تمامی نقشه‌های ارتفاع ژئوپتانسیل تراز میانی جو در مجموعه شکل (۵)، همزمان با نفوذ و گسترش زبانه پرفسار سیبری بر روی منطقه‌ی مورد مطالعه، در ارتفاع ژئوپتانسیل تراز میانی جو نیز فرازهایی حداکثر تا ارتفاع ۵۸۰۰ متر تشکیل شده که ریزش هوای بسیار سرد به منطقه را در امتداد شرقی این فرازها،

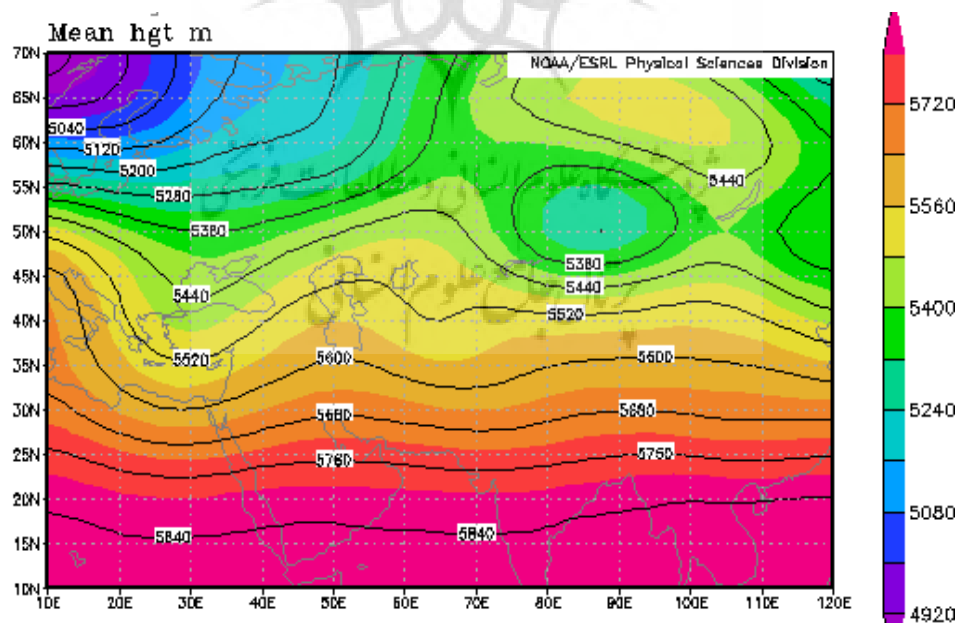
توجیه می‌کند.

ریزدوره‌ی پنجم با متوسط دمای کمینه ۱۱/۸ - درجه سانتیگراد، فراز عمیقی بر روی ایران شکل گرفته که محور آن دقیقاً بر شمال‌غرب و غرب ایران مستقر است. آنچه که سبب تضعیف اثر پرفسار سیبری، علیرغم گسترش و نفوذ زبانه‌های آن بر روی ایران می‌گردد، قرارگیری محور فراز بر روی منطقه بوده که جریان بادهای غربی بلافصله بعد از فراز، آرایش مداری به خود گرفته و این توجیهی بر گرمتر بودن این دوره می‌باشد. شکل (۵-م) نشان می‌دهد در ریزدوره‌ی ششم، جریان بادهای غربی، حالت نصف‌النهاری داشته و به همین خاطر فراز بريدهای در شمال جریان اصلی بادهای غربی در حال شکل گرفته که مناطق غربی عمیقی بر روی ایران شکل گرفته که مناطق غربی ایران در زیر قسمت غربی این فروود واقع شده است. آرایش ارتفاع ژئوپتانسیل بر روی غرب ایران، شمالی-جنوبی بوده که سبب ریزش هوای سرد عرض‌های بالا به مناطق غرب ایران می‌گردد. بنابراین سرد بودن این دوره با متوسط دمای کمینه ۱۶/۷ - درجه سانتیگراد را نیز می‌توان با نحوه‌ی قرارگیری محور فراز و فروود بر روی ایران و دامنه آنها توجیه نمود.

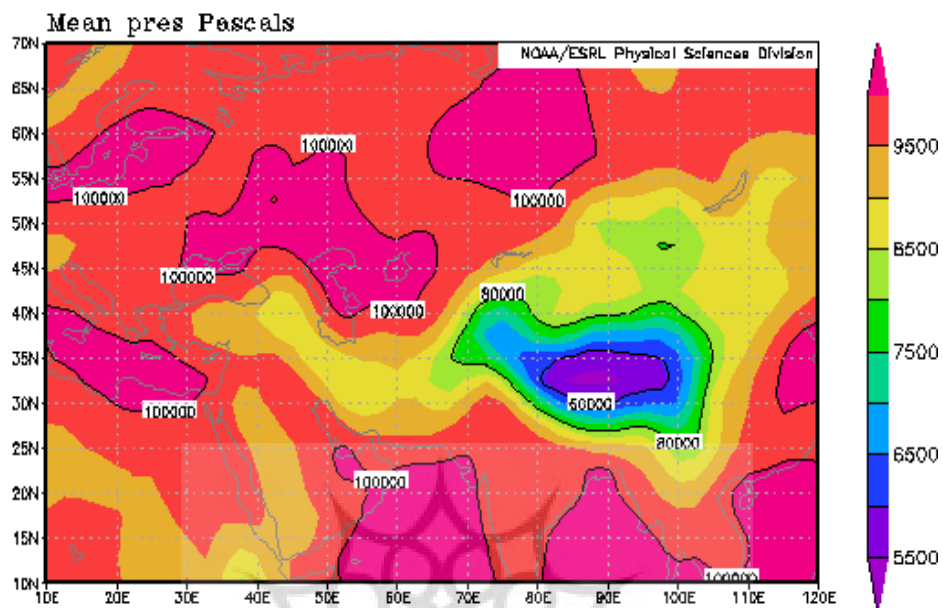




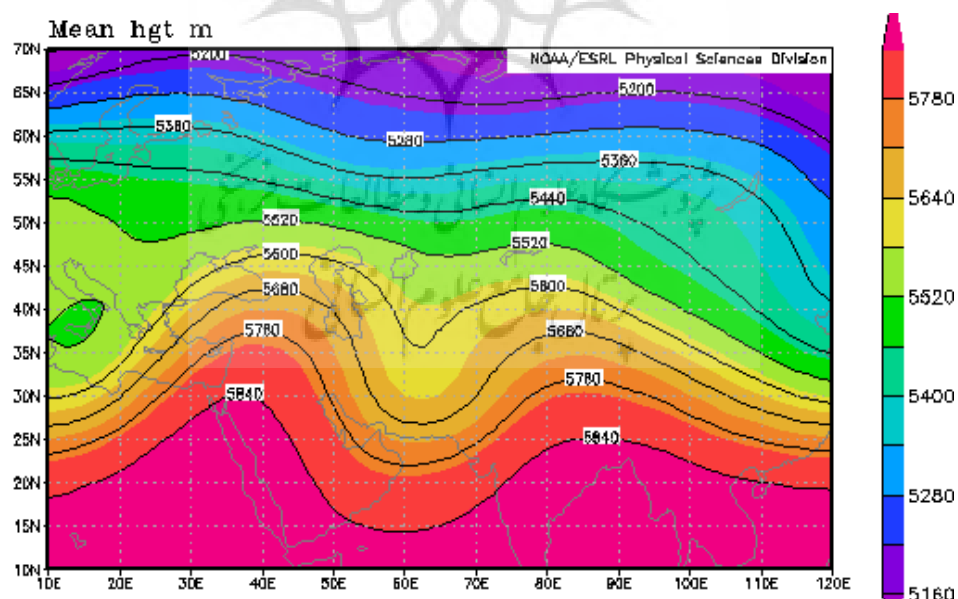
شکل (۵-۱) : نقشه‌ی میانگین توزیع فشار تراز دریا برای ریز دوره‌ی اول



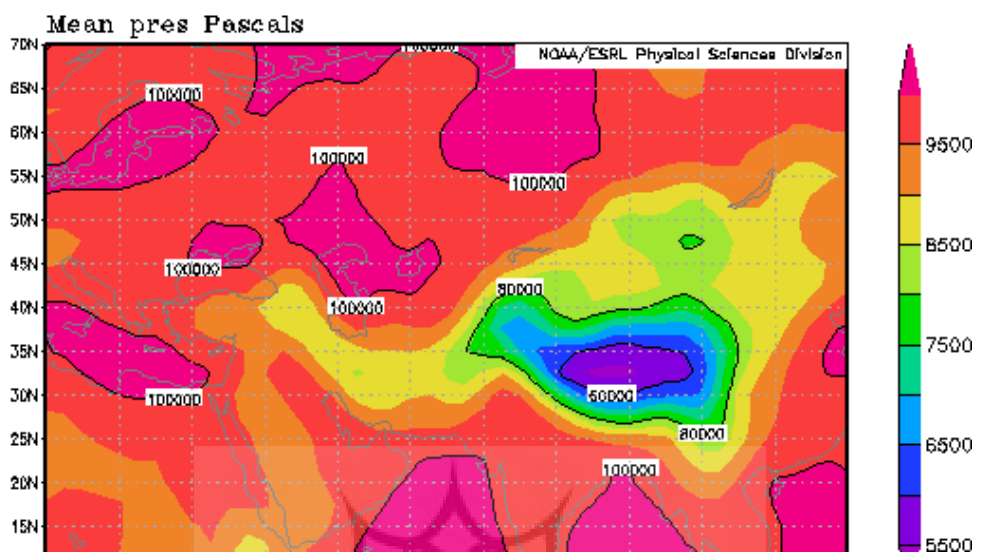
شکل (۵-۲) : نقشه‌ی میانگین ارتفاع ژئوپتانسیل تراز ۵۰۰ هکتوپاسکال برای ریز دوره‌ی اول



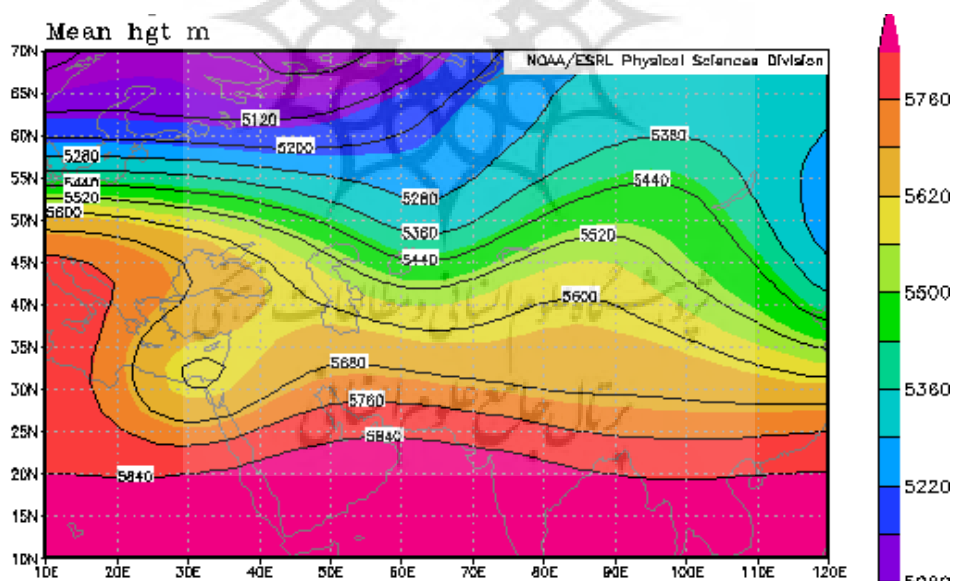
شکل (۵-ب-۱) : نقشه‌ی میانگین توزیع فشار تراز دریا برای ریز دوره‌ی دوم



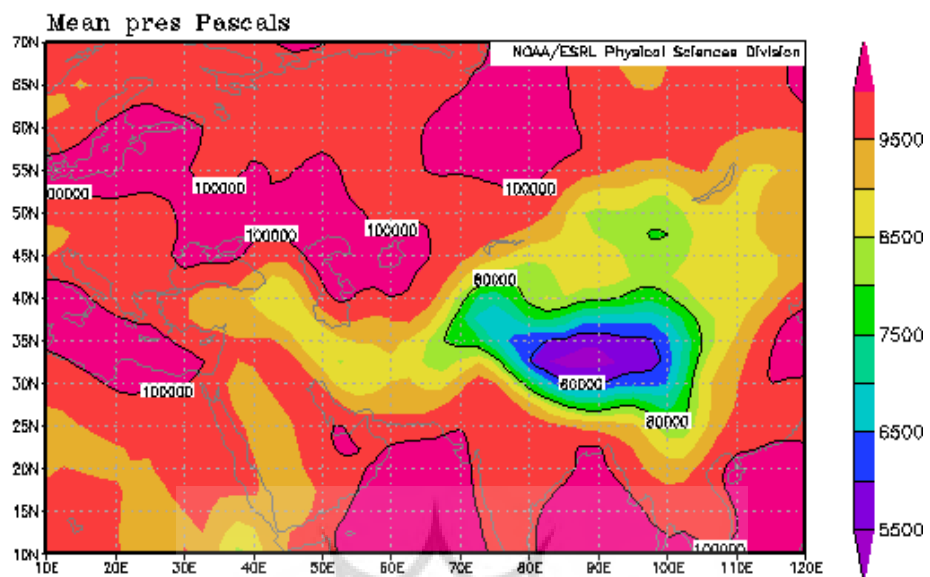
شکل (۵-ب-۲) : نقشه‌ی میانگین ارتفاع ژئوپتانسیل تراز ۵۰۰ هکتوپاسکال برای ریز دوره‌ی دوم



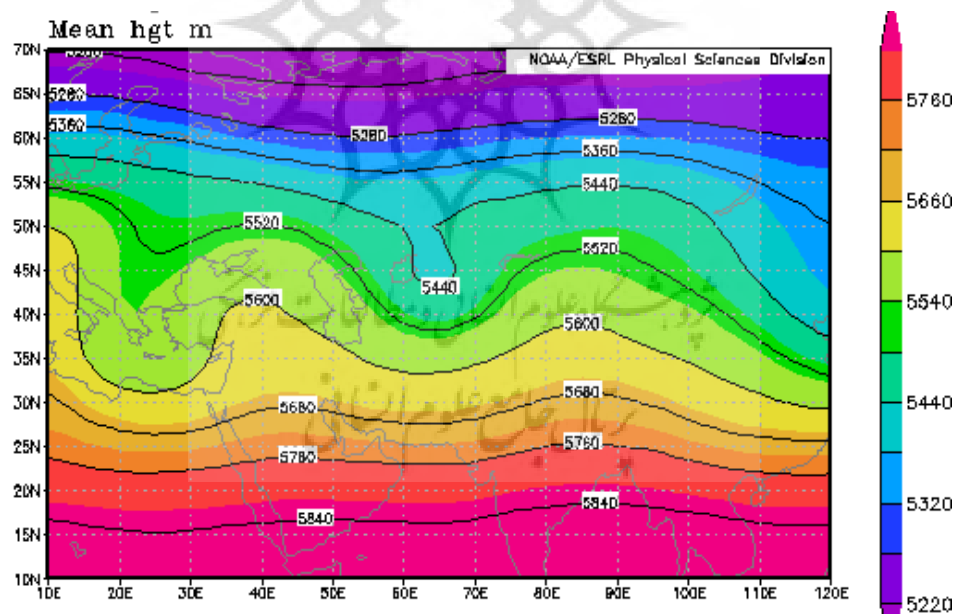
شکل (۵-ج) : نقشه‌ی میانگین توزیع فشار تراز دریا برای ریز دوره‌ی سوم



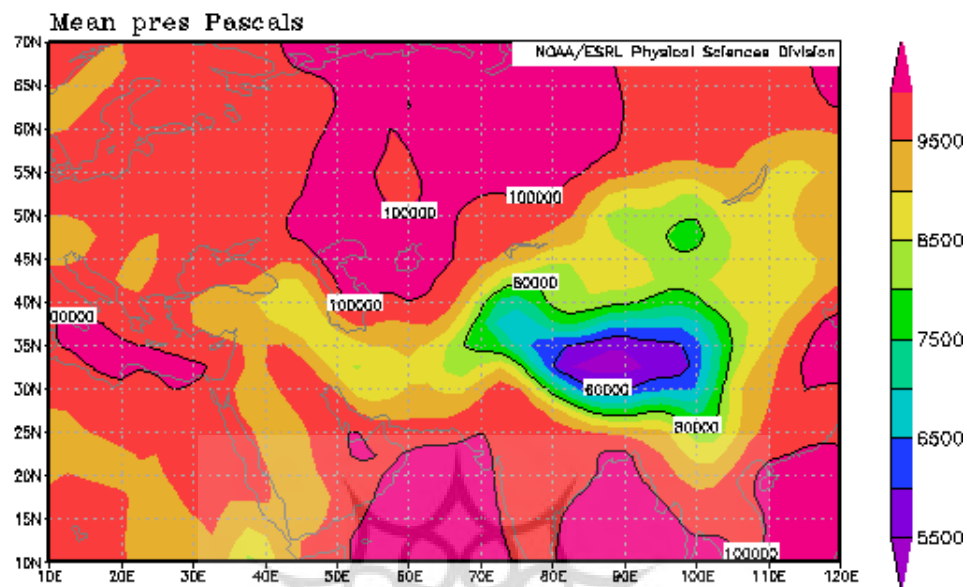
شکل (۵-ج) : نقشه‌ی میانگین ارتفاع ژئوپتانسیل تراز ۵۰۰ هکتوپاسکال برای ریز دوره‌ی سوم



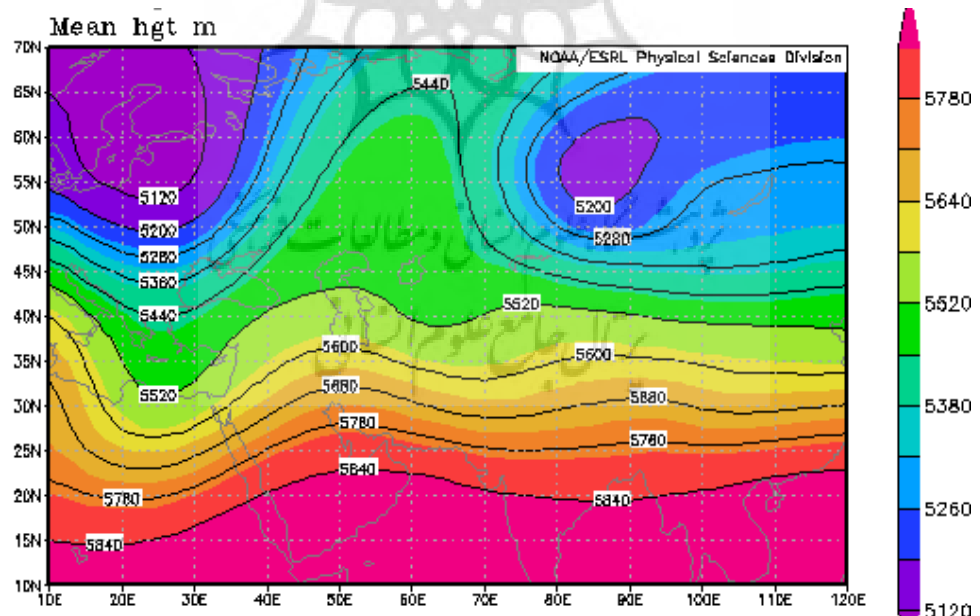
شکل (۵-۱) : نقشه‌ی میانگین توزیع فشار تراز دریا برای ریز دوره‌ی چهارم



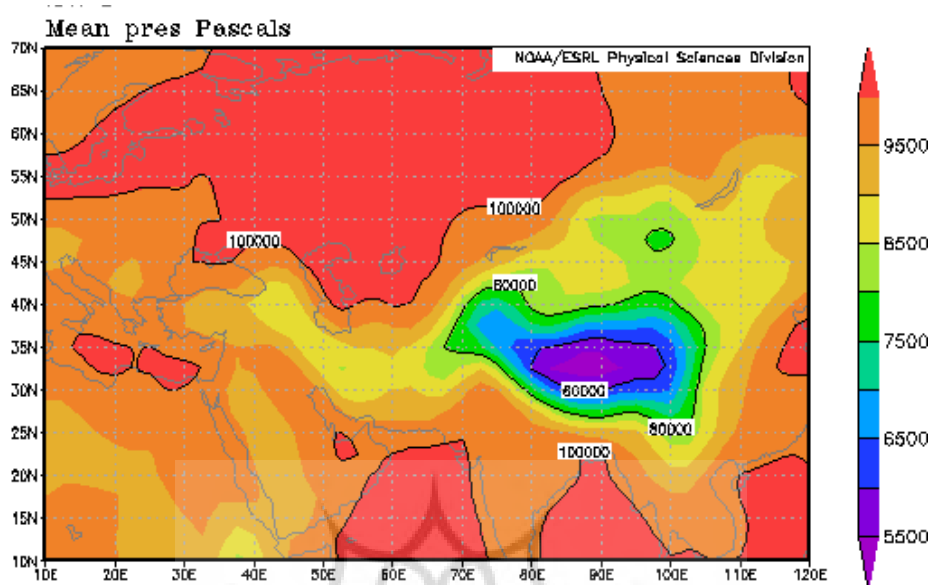
شکل (۵-۲) : نقشه‌ی میانگین ارتفاع ژئوباتنسیل تراز ۵۰۰ هکتوپاسکال برای ریز دوره‌ی چهارم



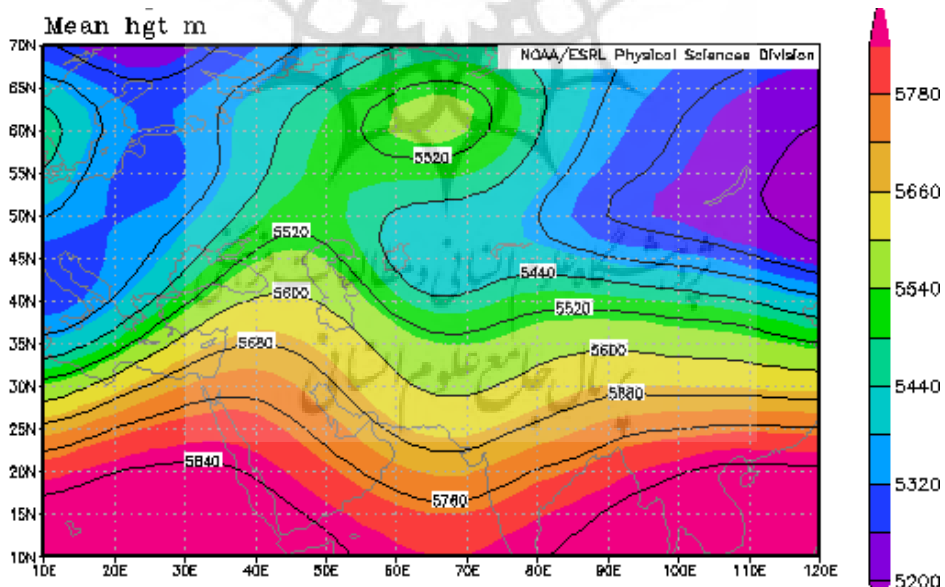
شکل (۵-۱) : نقشه‌ی میانگین توزیع فشار تراز دریا برای ریز دوره‌ی پنجم



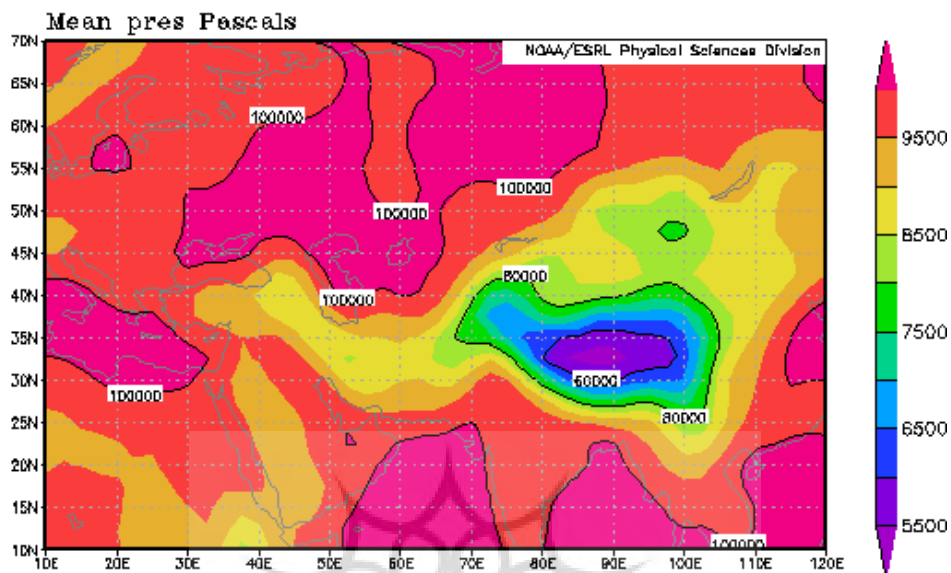
شکل (۵-۲) : نقشه‌ی میانگین ارتفاع ژوپتانسیل تراز ۵۰۰ هکتوپاسکال برای ریز دوره‌ی پنجم



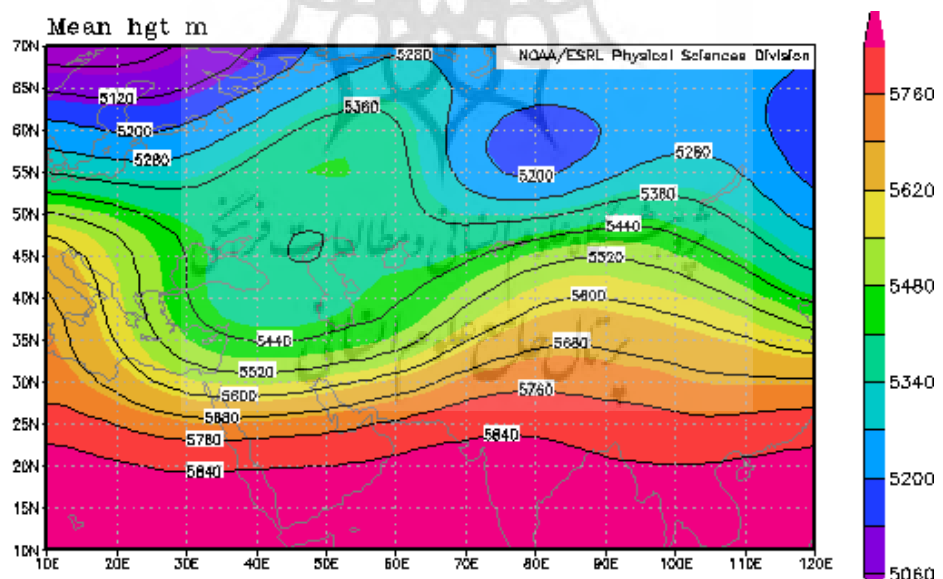
شکل (۵-۱) : نقشه‌ی میانگین توزیع فشار تراز دریا برای ریز دوره‌ی ششم



شکل (۵-۲) : نقشه‌ی میانگین ارتفاع ژئوپتانسیل تراز ۵۰۰ هکتوپاسکال برای ریز دوره‌ی ششم



شکل (۵-۱) : نقشه‌ی میانگین توزیع فشار تراز دریا برای ریز دوره‌ی هفتم



شکل (۵-۲) : نقشه‌ی میانگین ارتفاع ژئوپتانسیل تراز ۵۰۰ هکتوپاسکال برای ریز دوره‌ی هفتم

مجموعه شکل ۵: نقشه‌های میانگین توزیع فشار تراز دریا و نقشه‌های میانگین ارتفاع ژئوپتانسیل  
تراز ۵۰۰ هکتوپاسکال برای هفت ریز دوره  
مأخذ: نگارندگان

## نتیجه

در اقلیم‌شناسی همدید با تکیه بر اصل پذیرفته شده تبیین و تحلیل تغییرات شرایط محیطی سطح زمین از روی تغییرات الگوهای فشار، می‌توان بیشتر پدیده‌های اقلیمی سطح زمین را تبیین، تحلیل و پیش‌بینی نمود. از مهمترین پدیده‌های اقلیمی می‌توان به موج‌های سرمایی شدید اشاره نمود. سرمای شدید و نادر دی و بهمن سال ۱۳۸۳ شمسی که بخش‌های وسیعی از کشور ایران را فرا گرفته بود، از آن جمله است. به منظور تبیین و تحلیل همدید این موج سرمای فراگیر در ایران، دمای کمینه ایستگاههای محدوده‌ی استان چهارمحال و بختیاری، به عنوان نمونه انتخاب شد و سپس از داده‌های فشار تراز دریا و ارتفاع ژئوپتانسیل تراز میانی جو جهت تحلیل همدید این رویداد استفاده گردید.

نتایج این پژوهش نشان می‌دهد الگوی سطحی حاکم بر وضعیت موج سرمای دی و بهمن‌ماه ۱۳۸۳ پرفسار سبیری است. در این دوره، هسته‌ی پرفسار سبیری ضمن یک جابجایی شرقی- غربی، زبانه‌های خود را به سمت عرض‌های پایین و منطقه‌ی مورد مطالعه هدایت نموده و ۷ موج سرمایی شدید و نادر را برای این منطقه به ارمغان آورده است. در این پژوهش از این موج‌های سرمایی با نام ریزدورة یاد شده است. ریزدوره‌های ۱، ۳، ۵ و ۷ هر کدام، دو روز متوالی تداوم داشتند. ریزدوره ۲ و ۶ هر کدام پنج روز متوالی و بالأخره ریزدوره ۴، شش روز متوالی تداوم داشته است (مجموعه شکل ۵).

در تمامی نقشه‌های ارتفاع ژئوپتانسیل تراز میانی جو در مجموعه شکل (۵)، همزمان با نفوذ و گسترش زبانه پرفسار سبیری بر روی منطقه‌ی مورد مطالعه، فرازهایی حداکثر تا ارتفاع ۵۸۰۰ متر تشکیل شده که ریزش هوای بسیار سرد به منطقه را در امتداد شرقی این فرازها، توجیه می‌کند.

## منابع

- براتی، غلامرضا (۱۳۷۵). طراحی و پیش‌بینی الگوهای سینوپتیکی یخنдан‌های بهاره در ایران، رساله دکتری اقلیم‌شناسی (به راهنمایی: دکتر بهلول علیجانی). دانشگاه تربیت مدرس، تهران.
- بهیار، محمدقار (۱۳۸۲). بررسی پدیده‌های سرمازدگی استان چهارمحال و بختیاری از دیدگاه همدیدی- دینامیکی، فصلنامه تحقیقات جغرافیایی. شماره ۶۹.
- خوشحال دستجردی، جواد؛ حجت‌الله یزدان‌پناه؛ خداکرم حاتمی؛ بهمن بیگلو (۱۳۸۸). شناسایی الگوهای گردشی پدیده یخنдан با کاربرد تحلیل مؤلفه‌های مبتنا و تحلیل خوشهای- مطالعه موردي: استان فارس، فصلنامه جغرافیای طبیعی. سال اول. شماره ۴.

## منابع

- براتی، غلامرضا (۱۳۷۵). طراحی و پیش‌بینی الگوهای سینوپتیکی یخنдан‌های بهاره در ایران، رساله دکتری اقلیم‌شناسی (به راهنمایی: دکتر بهلول علیجانی). دانشگاه تربیت مدرس، تهران.
- بهیار، محمدقار (۱۳۸۲). بررسی پدیده‌های سرمازدگی استان چهارمحال و بختیاری از دیدگاه همدیدی- دینامیکی، فصلنامه تحقیقات جغرافیایی. شماره ۶۹.
- خوشحال دستجردی، جواد؛ حجت‌الله یزدان‌پناه؛ خداکرم حاتمی؛ بهمن بیگلو (۱۳۸۸). شناسایی الگوهای گردشی پدیده یخنдан با کاربرد تحلیل مؤلفه‌های مبتنا و تحلیل خوشهای- مطالعه موردي: استان فارس، فصلنامه جغرافیای طبیعی. سال اول. شماره ۴.

- 15- Chen, D. and Hellstrom (1999). The influence of the North Atlantic Oscillation on the regional temperature variability in Sweden: spatial and temporal variations. *Tellus* 51 A (4).
- 16- Ding, Y and Krishnamurti, T.N (1987). Heat budget of the Siberian high and winter monsoon, *Monthly weather Review*, vol; 115.
- 17- Gabriela, M and A.Tercio (2007). Dynamics of Wave Propagation Leading to Frost in the Extratropical Latitude Versus Tropical Latitude, Department of de Ciencias Atmosfericas, University of Sao Paulo, No 67.
- 18- Kiristi, J., Stefan Fronzki, Heikki Tuomenvirta, Timothy R. Carterand and Kimmo Ruosteenoja (2007). Changes In Frost, Snow and Baltic Sea ice by the end of the twenty-first century based on climate model projections for Europe, Springer Netherlands,.
- 19- Meehl, A, C.Tebaldi and D. Nychka (2004). Changes in frost days in simulations of twenty-first century climate, *Climate Dynamics Journal*, Springer Berlin/ Heidelberg, 495-511.
- 20- Miazaki, Y (1998). The Relationship between Tropical Convection and Winter Weather over Japan. *Journal of Meteorological Society of Japan*, 67.
- 21- Smolinski, K. K and July (2004). Interrelationship among Large Scale Atmospheric Circulation Regimes and Surface Temperature Anomalies in the North American Arctic. A Thesis Presented to the Academic Faculty. School of Earth and Atmospheric Sciences.
- 22- Takahashi, H (1990). Migration of the cold air mass related to rain belt formation of the Chinese continent and atmospheric circulation system during the baiu season (in Japanese), geographic review of Japan, jeries A, 64 (10).
- 23- Vithkevich, V. I (1963). Agricultural Meteorology. Jerusalem (Mpndon).
- 24- Wolfgang, Buerman, Benjamin Lintner and Celine Bonfils (2004). A Wintertime Arctic Oscillation Signature on Early Season Indian Ocean Monsoon Intensity.  
[www.cdc.noaa.gov](http://www.cdc.noaa.gov)
- ۴ عزیزی، قاسم (۱۳۸۳). ارزیابی سینوپتیکی یخندان-های فراغیر بهاری در نیمه غربی ایران، مجله مدرس. شماره ۸ (۱) و شماره پیاپی ۳۲
- ۵ عزیزی، قاسم؛ علی حنفی؛ محسن سلطانی؛ موسی آقاجانی (۱۳۹۰). تحلیل سینوپتیکی یخندان شدید دیرهنگام و فراغیر فرودین ۱۳۸۸، مجله جغرافیا و برنامه‌ریزی محیطی. سال ۲۲. شماره پیاپی ۴۱.
- ۶ علیجانی، بهلول (۱۳۶۹). چگونگی تشکیل فرابار سیبری و اثرات آن بر اقلیم شرق ایران، *فصلنامه تحقیقات جغرافیایی*. سال پنجم. شماره ۱۷.
- ۷ علیجانی، بهلول (۱۳۸۱). *اقلیم‌شناسی سینوپتیک*، چاپ اول. تهران. انتشارات سمت.
- ۸ فتاحی، ابراهیم؛ تهمینه صالحی‌پاک (۱۳۸۸). تحلیل گوهای سینوپتیکی یخندان‌های زمستانه ایران، *فصلنامه جغرافیا و توسعه*. شماره ۱۳.
- ۹ لشکری، حسن (۱۳۸۷). تحلیل سینوپتیکی موج سرمای فراغیر ۱۳۸۲ در ایران، پژوهش‌های جغرافیای طبیعی. شماره ۶۶.
- ۱۰ مرکز آمار و انفورماتیک سازمان هواشناسی ایران (۱۳۸۸).
- ۱۱ مقیمی، ابراهیم؛ شاپور گودرزی‌نژاد (۱۳۸۲). *مخاطرات محیطی*، چاپ اول. تهران. انتشارات سمت.
- ۱۲ هژبرپور، قاسم؛ بهلول علیجانی (۱۳۸۶). تحلیل همدید یخندان‌های استان اردبیل، *فصلنامه جغرافیا و توسعه*. شماره ۱۰.
- ۱۳ یارقال، برت (۱۹۹۳). *اقلیم‌شناسی همدید و کاربردهای آن در مطالعات محیطی* (۱۳۸۵). ترجمه سیدابوالفضل مسعودیان. چاپ اول. انتشارات دانشگاه اصفهان.
- 14- Buishand, T. A and Brandsma, T (1997). Comparison of circulation classification schemes for predicting temperature and precipitation in the Netherlands, *International Journal of Climatology*, 17.